

بررسی پلی مورفیسم ژنومی تریکوفیتون روبروم (*Trichophyton rubrum*) جداشده از منابع بالینی کراتینیزه با روش RAPD_PCR

کیومرث امینی^۱، شیما چهرئی^{۲*}، پریسا مالک آبادی^۲

(۱) گروه میکروبیولوژی، دانشکده علوم پایه، واحد ساوه، دانشگاه آزاد اسلامی، ساوه، ایران

(۲) گروه بیولوژی، دانشکده علوم پایه، واحد اراک، دانشگاه آزاد اسلامی، اراک، ایران

تاریخ پذیرش: ۱۳۹۹/۱۰/۱۷

تاریخ دریافت: ۱۳۹۹/۱/۱

چکیده

مقدمه: درماتوفیتوزیس عارضه قارچی بافت‌های کراتینیزه پوست، مو و ناخن است که در نتیجه استقرار درماتوفیت در نسوج روی می‌دهد. اقدام به تایپینگ و افتراق زیرگونه‌ها و مطالعه ارتباط احتمالی گونه‌های خاص با اشکال بالینی جدایه تریکوفیتون، با استفاده از روش RAPD-PCR، با کمک پرایمرهای تصادفی است که ابزار سودمندی برای تیپ‌بندی و تمایز گونه‌های قارچی به‌شمار می‌رود. هدف از این پژوهش، بررسی پلی مورفیسم ژنومی تریکوفیتون روبروم جداشده از منابع کراتینیزه با روش RAPD_PCR است.

مواد و روش‌ها: در این مطالعه، ۶۰ نمونه درماتوفیتوزیس از بیماران پوستی در سنین ۱۲ تا ۴۵ سال، از بیمارستان خاتم‌الانبیا استان تهران و بیمارستان قدس استان مرکزی جداسازی شدند. نمونه‌ها در محیط سابورو دکستروز آگار یا محیط میکروبیوتیک آگار تلقیح گردیدند. در مجموع، ۳۰ نمونه مثبت (+) به‌دست آمد. برای استخراج DNA تریکوفیتون روبروم، از کیت اختصاصی استفاده شد. آزمون PCR با استفاده از پرایمرهای اختصاصی صورت گرفت و از روش RAPD_PCR برای بررسی ژنومی آن‌ها استفاده گردید. بررسی پلی مورفیسم ژنوم، شاخص ژنتیکی ارزشمندی در ارزیابی ساختار ژنوم تریکوفیتون روبروم است.

یافته‌های پژوهش: از غربالگری نمونه‌های بالینی آزمایشگاه که بر اساس ویژگی‌های مورفولوژیک، میکروسکوپی و تست‌های بیوشیمیایی تعیین هویت شدند، در مجموع ۳۰ جدایه تریکوفیتون روبروم جدا گردید. این سویه‌ها در ۹ گروه مجزا دسته‌بندی شد که هر کدام از سویه‌ها صفات فنوتیپی و ژنوتیپی مشترک دارند. در میان کلاسترهای مشخص‌شده، بیشترین فراوانی مربوط به کلاستر ۹ است که ۱۲ ایزوله با ویژگی‌های خوشاوندی مشترک را در برمی‌گیرد.

بحث و نتیجه‌گیری: بررسی پلی مورفیسم ژنومی تریکوفیتون روبروم جداشده از نمونه‌های درماتوفیتی افراد مبتلا به درماتوفیتوزیس در منطقه جغرافیایی تهران، با تکنیک RAPD_PCR، به‌وسیله پرایمر اختصاصی پرداخته شد که در این مطالعه، بعد مسافت و متغیر گروه سنی تأثیر بسزایی داشتند. تنوع ژنتیکی می‌تواند در انتقال و بیماری‌زایی تریکوفیتون روبروم نقش ویژه‌ای داشته باشد.

واژه‌های کلیدی: تریکوفیتون روبروم، درماتوفیتوزیس، پلی مورفیسم ژنومی، RAPD_PCR

* نویسنده مسئول: گروه بیولوژی، دانشکده علوم پایه، دانشگاه آزاد اسلامی، واحد اراک، اراک، ایران

Email: Sh-chehrei@iau-arak.ac.ir

Copyright © 2019 Journal of Ilam University of Medical Science. This is an open-access article distributed under the terms of the Creative Commons Attribution international 4.0 International License (<https://creativecommons.org/licenses/by-nc/4.0/>) which permits copy and redistribute the material, in any medium or format, provided the original work is properly cited.

مقدمه

درماتوفیت‌ها قارچ‌های رشته‌ای هستند که می‌توانند انواع گوناگونی از درماتوفیتوزیس را در حیوانات و انسان‌ها، با انتقال احتمالی حیوانات به وجود بیاورند. محیطی که در اثر یک درماتوفیت در معرض عفونت قرار می‌گیرد، به انتشار آنزیم‌های ویژه‌ای نیاز دارد که اجازه نفوذ در بافت میزبان را به دست آورد. درماتوفیتوزیس عارضه قارچی بافت‌های کراتینیزه پوست، مو و ناخن است که در نتیجه جایگزین شدن درماتوفیت‌ها در این نسوج روی می‌دهد. درماتوفیت‌ها دسته‌ای از قارچ‌های کراتینوفیلیک هستند که از نظر ویژگی‌های ساختمانی، شباهت بسیاری به یکدیگر دارند. تاکنون بیش از ۴۰ گونه درماتوفیت شناخته شده که در مجموع، در سه جنس میکروسپوروم، تریکوفیتون و اپیدرموفیتون هستند (۱).

تریکوفیتون روبروم شایع‌ترین گونه‌های عامل درماتوفیتوزیس در سراسر جهان است و شناسایی این دو موضوع از دیدگاه همه‌گیرشناسی و بیماری‌زایی مهم است. تریکوفیتون روبروم (*Trichophyton rubrum*) یک درماتوفیت انسان‌دوست با انتشار جهانی است که از عوامل مهم عفونت‌های انسان به‌شمار می‌رود و به‌ندرت از عفونت‌های حیوان جدا شده است؛ اما تا به حال گزارشی از جداسازی آن از خاک نیست. تریکوفیتون روبروم عامل کچلی‌های بدن و به‌طور فراوان، عامل کچلی پا و ناخن است (۲).

تریکوفیتون روبروم، با فراوانی حدود ۴۰ درصد، عامل عفونت‌های بافت کراتینیزه ناخن و رایج‌ترین عامل گرانولوماتوز ندولر قارچی جلدی و زیرجلدی است که معمولاً عامل عفونت‌های بافتی محدود به اپیدرم سطحی است. مطالعات محدودی به‌منظور شناسایی توالی DNA موردنیاز برای گروه مهم از عوامل بیماری‌زا، برای تشخیص مؤثر و به‌صرفه، درمان و ساخت واکسن صورت گرفته است که تا به امروز، ۴۳ توالی ژنی کدگذاری منحصربه‌فرد از گونه تریکوفیتون روبروم با پنج کروموزوم شناسایی شده است (۳).

استفاده از نشانگرهای اختصاصی که چندشکلی را در سطح DNA آشکار می‌کنند، می‌تواند به‌عنوان روش‌های مکمل، اقسام مورفولوژیکی و روابط ژنتیکی

بین‌گونه‌ای را تعیین کنند (۴). امروزه، از روش RAPD_PCR به‌عنوان ابزار سودمندی در تیپ بندی و تمایز گونه‌های میکروبی از جمله قارچ‌ها استفاده می‌گردد. درنهایت، برای تأیید ایزوله‌های تریکوفیتون روبروم جداسازی و شناسایی‌شده با روش‌های روتین آزمایشگاهی، از روش مولکولی اختصاصی PCR مبتنی بر آغازگرهای اختصاصی پلی مورفیسم ژنومی کدگذاری شده در DNA گونه تریکوفیتون روبروم پرداخته شد که مشاهده قطعه ژنومی ۱۱۰۰، بیانگر تأیید گونه تریکوفیتون روبروم (*Trichophyton rubrum*) است (۵).

در روش RAPD، قطعات بسیاری از ژنوم (۱ تا ۲۰ لوکوس و یا حتی بیشتر) به‌طور تصادفی تکثیر می‌شوند. حضور داشتن یا نداشتن این قطعات یا باندها، معیاری برای پلی مورفیسم (چندشکلی) در میان افراد مختلف متفاوت است. قطعات تکثیرشده به‌وسیله پرایمر RAPD را می‌توان نماینده همه ژنوم در نظر گرفت. ویلیامز عنوان کرد قطعات تکثیر یافته در RAPD، حاوی ترادف‌های متعلق به کلاس‌های گوناگون ژنوم (ترادف‌های تک کپی، تکرار متوسط و تکرار بالا) هستند (۶، ۷).

از نشانگرهای RAPD می‌توان برای شناسایی تاکسون‌های گوناگون، در سطح جمعیت تا جنس استفاده کرد. این نشانگر تنوع بالایی را در میان و داخل گونه‌ها نشان می‌دهد؛ بنابراین، برای آنالیزهای فیلوژنی و تعیین قرابت بسیار مناسب است. برای هر تاکسون باید تعداد فراوان و کافی از ژنوتیپ‌ها را بررسی کرد تا مطمئن شد که یک نشانگر در همه ژنوتیپ‌ها وجود دارد و ناشی از فراوانی آلی نیست. از سویی، به علت اینکه این نشانگرها در رنج تاکسونومیکی محدودی قابل‌استفاده هستند، استفاده از آن‌ها در فیلوژنی محدود است (۸، ۶). در این پژوهش، برای بررسی تایپینگ و افتراق زیرگونه‌ها و مطالعه ارتباط احتمالی استرین‌های خاص تریکوفیتون روبروم (*Trichophyton rubrum*) با اشکال بالینی متفاوت، از روش RAPD-PCR با کمک آغازگرهای تصادفی استفاده شد که هدف از آن، بررسی تنوع ژنومی ایزوله‌های تریکوفیتون روبروم جدا شده از منابع بالینی با روش RAPD_PCR است.

مواد و روش‌ها

تهیه سوبیه: سوبیه های کشت داده شده از آزمایشگاه های خصوصی در تهران و اراک به صورت آماده بر روی محیط کشت اختصاصی اخذ گردید. از لحاظ تفکیک نمونه، ۱۵ نمونه اول از استان مرکزی و ۱۵ نمونه دوم از استان تهران بود. دامنه سنی ذکر شده نمونه های استان مرکزی در محدوده ۲۸-۳۸ سالگی و دامنه سنی نمونه های تهران در محدوده ۲۵-۴۲ سالگی گزارش شد انجام تست های تاییدی تریکوفیتون روبروم؛ سوبیه های اخذ شده از آزمایشگاهها جهت تایید بر روی محیط سابوردکستروز آگار محتوی کلرامفنیکل و سیکلوهمگزامید، طبق دستورالعمل کشت داده شد. از هر دو روش کشت و روش لام مستقیم استفاده گردید. نمونه ها به دقت در پلیت تلقیح شده و در دمای ۲۵°C، برای ۴ هفته انکوبه شدند. قارچ های جدا شده بر روی محیط کشت سابوروی جدید و محیط کورن میل آگار، برای کونیدی زایی، مجدد کشت شدند. برای تشخیص، از هیدرولیز اوره و تست سوراخ کردن مو و ایجاد پیگمان بر روی محیط کورن میل آگار استفاده گردید (۱۰). برای بررسی شکل کلنی و مورفولوژیکی ماکروسکوپی، در محیط سابورو دکستروز آگار SDA و محیط افتراقی و مغذی، سابورو دکستروز آگار حاوی عصاره برنج و همچنین محیط اختصاصی، سابورو دکستروز آگار با سیکلوهمگزامید و کلرامفنیکل (SCC) به صورت نشا کشت داده شد. پلیت های تلقیح شده را در ۲۵°C، برای ۴ هفته انکوبه کرده و هر هفته، رشد درماتوفیت بررسی گردید (۱۰).

استخراج DNA با کیت ستونی استخراج ژنوم اختصاصی قارچ: به منظور استخراج DNA قارچ، از کیت استخراج DNA اختصاصی آن استفاده شد. با این کیت، استخراج به روش ستونی (mini column) انجام گردید. برای انجام واکنش PCR، به استخراج یا تخلیص DNA نیاز است که در واقع، PCR برای تکثیر یک ناحیه ژنتیکی مشخص در عامل بیولوژیک خاص، توسط پرایمر اختصاصی شناسایی شد.

نحوه استخراج DNA قارچ ها: برای استخراج DNA، از پرگنه های ۵ روز کشت داده شده استفاده

گردید که بر روی محیط کشت (Potato dextrose agar) PDA کشت داده شدند.

الکتروفورز DNA/استخراجی: پس از پایان مراحل استخراج، برای اطمینان از وجود DNA و میزان خلوص آن، DNA استخراجی در ژل آگاروز ۱ درصد، به مدت ۴۵ دقیقه الکتروفورز شد و سپس باندهای حاصل، پس از رنگ آمیزی، در زیر نور ماوراءبنفش مشاهده گردیدند (۱۱).

کنترل کیفیت با دستگاه نانودراپ: برای کنترل کیفیت DNA ای که توسط کیت سینازن استخراج شد، با استفاده از دستگاه نانودراپ ساخت کشور آلمان، جذب نوری DNA بررسی گشت. این روش کمی است و می توان غلظت DNA را با استفاده از جذب نوری در طول موج ۲۶۰ nm محاسبه کرد. جذب برای یک OD در ۲۶۰ nm، نشان دهنده حضور ۵۰ gμ در میلی لیتر DNA دورشته ای در محلول است. با استفاده از این روش می توان مقدار ناخالصی ناشی از وجود پروتئین را در محلول DNA تشخیص داد. برای این منظور، جذب را بایستی یک بار در طول موج ۲۶۰ nm و بار دیگر در طول موج ۲۸۰ nm اندازه گرفت (۱۲).

کنترل کیفیت با الکتروفورز: برای کنترل کیفیت DNA استخراج شده، از تکنیک الکتروفورز استفاده شد. در این روش، ابتدا ژل ساخته و پس از راه اندازی دستگاه الکتروفورز، نمونه های DNA درون چاهک ها ریخته و سپس جداسازی انجام شد. در نهایت، نمونه ها رنگ آمیزی گشته و در دستگاه ژل داک، بررسی و عکس برداری شدند (۱۳).

آماده سازی پرایمرها: پس از مطالعه و جستجو در مقالات گوناگون، پرایمرهای مناسب برای ژن های sub4، sub7 انتخاب شدند. پرایمرها در سایت (<http://blast.ncbi.nlm.nih.gov/Blast.cgi>) مقایسه و بلاست گردیدند و به شرکت ماکروژن سفارش داده شدند. در جدول شماره ۱، توالی پرایمر و طول قطعه تکثیری نشان داده شده است (۱۴).

پرایمر به کاررفته در این پژوهش: پرایمر قطعه کوتاهی از اسید نوکلئیک است که این قطعه، مکمل یک قطعه تک رشته ای در پلی نوکلئوتید DNA الگو است.

که بایستی تکثیر گردد، مشخص شود. پرایمر مدنظر برای انجام این آزمایش، در ایزوله تریکوفیتون روبروم جدول شماره ۱ نشان داده شده است (۱۵).

انجام یک PCR موفقیت آمیز، به انتخاب پرایمر مورداستفاده بستگی دارد. ضمن آنکه پرایمرها کاملاً اختصاصی هستند و از طول نسبتاً مناسبی برخوردارند. برای طراحی پرایمر لازم است توالی دو انتهای قطعه‌ای

جدول شماره ۱. توالی‌های نوکلئوتیدی پرایمر برای شناسایی در ایزوله‌های تریکوفیتون روبروم (۱۵، ۱۶)

پرایمر	۳' → ۵' توالی	اندازه پرایمر (bp)
sub4	F 5' -ACCCTCCTATCCTTTACATTCCC R 5' -CATTTCGCTGTTCTTGTGGC	۱۴۰
sub7	F 5' -TGGGTGCCTGTTGGTTGA R 5' -TGACTGGTGAAGAGGGAAGAA	۱۵۱

تنظیم درجه حرارت و زمان برای انجام مراحل PCR تریکوفیتون روبروم، با استفاده از پرایمرهای جلودار و برگشتی بر اساس جدول شماره (۱) انجام شد (۱۷).

پس از آماده شدن نمونه، مخلوط حاصل در حجم نهایی ۲۵ µl، به دستگاه ترموسایکلر (آلمان، Gradient Mastercycler Eppendorf) انتقال یافت. برنامه

جدول شماره ۲. برنامه تنظیم درجه حرارت و زمان برای انجام مراحل PCR

مرحله	دما (درجه سلسیوس)	زمان (ثانیه)	تعداد سیکل
واسرشت اولیه	۹۴	۳۰۰	۱
واسرشت	۹۴	۳۰	-
اتصال	۳۷	۳۰	-
بازآرایی (گسترش)	۷۲	۹۰	۳۴
بازآرایی نهایی	۷۲	۶۰۰	-

ثانیه در دمای ۹۴ درجه و یک دور برای تکمیل اتصال پرایمر و تکمیل ساخت DNA به مدت ۱۰ دقیقه در دمای ۷۲ درجه بر روی دستگاه ترموسایکلر تنظیم گردید (جدول شماره ۲).

RAPD برای هر یک از ۱۲ پرایمر انجام گرفت که توالی آن‌ها در جدول شماره ۱ آمده است و پس از پایان PCR، همه محصولات PCR همراه با نشانگرهای مولکولی DNA، بر روی ژل آگارز ۲ درصد در شرایط کاملاً یکسان الکتروفورز گردید. از ژل‌ها پس از رنگ آمیزی با اتیدیوم بروماید و رنگ زدایی ژل با آب مقطر، در زیر نور ماوراءبنفش UV توسط دوربین پلوراید عکس برداری شد (۱۸).

تجزیه و تحلیل آماری: برای تجزیه و تحلیل آماری محصولات RAPD، از میزان حرکت نوارها استفاده و جدول ماتریس صفر و یک رسم گردید. با استفاده از جدول ماتریس صفر و یک تجزیه خوشه‌ای با برنامه SPSS، به روش UPGMA و بر اساس الگوی چندشکلی DNA محصولات RAPD به طور جداگانه

PCR-RAPD به منظور بهینه‌سازی شرایط RAPD، غلظت واکنش‌گر برای حجم ۵۰ میکرولیتر، شامل ۲۰ نانوگرم از DNA ژنومی، ۶۰ نانوگرم از آغازگر، dNTP با غلظت ۱۰ میلی‌مولار، MgCl₂ با غلظت ۵۰ میلی‌مولار، ۵ میکرولیتر از بافر PCR ۱۰X، ۳۷/۵ میکرولیتر از آب مقطر دوبار تقطیر استریل و ۵ واحد بر میکرولیتر آنزیم پلی‌مراز Taq DNA در داخل تیوب اپندورف ۱۰۰ µl آماده شد و پس از آماده‌سازی پرایمرهای RAPD، برنامه لازم برای انجام PCR در دستگاه ترموسایکلر MAXI-GENE از شرکت استوارت سائیتیفیک انگلستان تنظیم گردید.

در این برنامه، یک چرخه برای تکرار شده‌ای شدن کلی DNA اولیه، به مدت ۵ دقیقه در دمای ۹۴ درجه انجام شد؛ سپس ۳۴ چرخه شامل مراحل مربوط به اتصال پرایمر به مدت ۹۰ ثانیه صورت گرفت که دمای اتصال برای هر پرایمر در جدول شماره ۳ مشخص شده است. سنتز DNA به مدت ۹۰ ثانیه در دمای ۷۲ درجه، تکرار شده‌ای شدن DNA های ساخته شده به مدت ۹۰

برای هر آغازگر و نیز حالت ترکیبی آن‌ها انجام گرفت و دوری و نزدیکی سویه‌ها بررسی شد (۷).

پس از تهیه تصاویر ژل با استفاده از دستگاه Gel documentation و اسکن تصاویر آن‌ها، الگوی باندی همه جمعیت‌ها، برای هر پرایمر به صورت جداگانه رسم گردید؛ بدین ترتیب که در هر جمعیت در صورت حضور باند، امتیاز یک و در صورت نداشتن باند، امتیاز صفر داده شد و ماتریس صفر و یک تشکیل گردید. پس از تشکیل ماتریس صفر و یک در نرم‌افزار Excel، داده به نرم‌افزار genAlex vol.6.4 و PoPGene vol.1.32 منتقل شد و تجزیه خوشه‌ای به

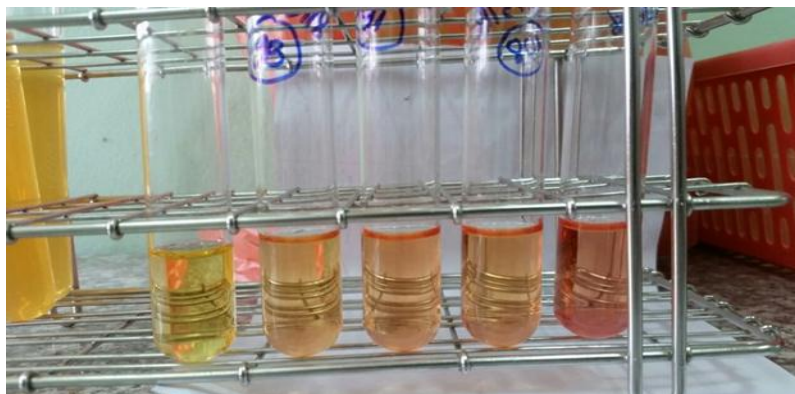
روش WARD به دست آمد (۱۹).

یافته‌های پژوهش

نتایج جداسازی نمونه‌های بالینی قارچی: نمونه‌های بالینی گرفته شده از بیماران مبتلا به درماتوفیتوزیس در دو استان تهران و مرکزی به آزمایشگاه منتقل شدند و بر اساس ویژگی‌های مورفولوژیک، میکروسکوپی و تست‌های بیوشیمیایی (جدول شماره ۳) غربالگری گردیدند (شکل شماره ۱) که در مجموع، از ۳۰ جدایه تریکوفیتون روبروم، ۱۵ ایزوله مربوط به استان تهران و ۱۵ ایزوله مربوط به استان مرکزی بودند.

جدول شماره ۳. بررسی نتایج تست‌های بیوشیمیایی جدایه‌های *Trichophyton rubrum*

قارچ	رشد کلنی نسبتاً کند	پشت کلنی قرمز یا قهوه‌ای رنگ	تست اوره	کلنی دانه‌ای تعداد فراوان میکرو و ماکرو کونیدی	تست سوراخ کردن مو
تریکوفیتون روبروم	+	+	-	+	+



شکل شماره ۱. تست اوره از در *Trichophyton rubrum*

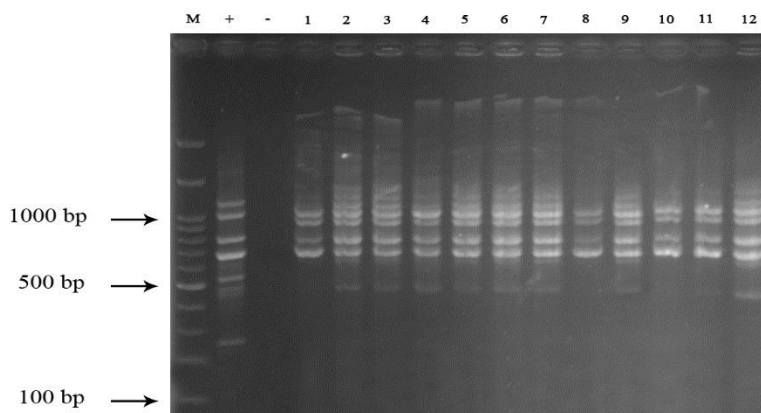
داده‌های باینری به دست آمده از ژل الکتروفورزیس؛ باندها و الگوهای به دست آمده از انگشت‌نگاری مولکولی واکنش‌های RAPD-PCR، در ابتدا با چشم و به صورت بصری تحلیل شدند. با تهیه جدول برنامه (Notepad)، وجود باند با یک سایز مشخص از ۵۰ تا ۳۰۰۰ کیلو باز با عدد ۱ و وجود نداشتن باند با عدد صفر مشخص گردید؛ سپس این اعداد در جداول برنامه Notepad قرار گرفت و توسط برنامه نرم‌افزاری NTSYS vol.12 بر اساس شباهت دندوگرام تهیه شد. برای تجزیه و تحلیل آماری محصولات RAPD، از میزان حرکت نسبی نوارها استفاده گردید. میزان حرکت هر یک از نوارها با دقت

۱/۲۰ میلی‌متر سنجیده شد. بر اساس وجود داشتن یا نداشتن هر نوار از محصولات PCR، به ترتیب عدد یک یا صفر به آن نسبت داده و به این ترتیب، جدول ماتریس صفر و یک رسم شد. بر اساس ماتریس صفر و یک تعداد کل الگوهای چندشکلی DNA محصولات RAPD حاصل از آغازگر برای ۳۰ ایزوله تریکوفیتون روبروم، در مجموع تعدادی نوار به دست آمد. با استفاده از جدول ماتریس صفر و یک تجزیه خوشه‌ای با برنامه SPSS، به روش‌های گوناگون تجزیه خوشه‌ای بر اساس الگوی چندشکلی DNA محصولات RAPD، به طور جداگانه برای هر آغازگر و نیز حالت ترکیبی آن‌ها انجام گرفت.

بررسی‌ها نشان داد که روش UPGMA نتایج منطقی و مطمئن‌تری را به دست می‌دهد و بنابراین، بر اساس آن دوری و نزدیکی ژنتیکی سویه‌ها بررسی شد.

نتایج تأیید استخراج DNA برای بررسی الگوی پلی مورفیسم ژنومی میان ۳۰ سویه جداسده قارچ تریکوفیتون روبروم، ایزوله‌های قارچ در محیط کشت CSDA به مدت ۷ روز کشت شدند که در ادامه، محیط‌های کشت صاف گردیدند و برای استخراج DNA، به روش دلاپورتا، کیفیت و کمیت DNA استخراجی تعیین شد. بررسی‌ها نشان داد که DNA استخراجی نسبتاً خالص است و به پروتئیناز در جریان استخراج DNA نیازی ندارد.

نتایج آنالیز مولکولی: برای بهینه‌سازی شرایط RAPD، پارامترهای مؤثر بررسی شد و با توجه به آزمون‌های گوناگون، شرایط برای انجام واکنش در حجم‌های ۵۰ میکرولیتری بهینه‌سازی گردید؛ سپس واکنش‌گرهای RAPD، دما، زمان و برنامه لازم برای انجام PCR در دستگاه ترموسایکلر تنظیم شد. پس از پایان واکنش، به منظور بررسی الگوی پلی مورفیسم DNA میان سویه‌ها، همه محصولات PCR بر روی ژل آگارز ۲ درصد الکتروفورز گردید و پس از رنگ‌آمیزی با اتیدیوم برومید و رنگ‌زدایی از ژل با آب مقطر، در زیر نور ماوراءبنفش توسط دوربین پلوراید عکس‌برداری شد که تصاویر به‌دست‌آمده در ادامه قابل مشاهده است (تصویر شماره ۲).



شکل شماره ۲. الگوی باندهای حاصل از RAPD-PCR سویه‌های ۱ تا ۱۲ تریکوفیتون روبروم، با استفاده از پرایمر RAPD بر روی ژل آگارز و رنگ‌آمیزی شده با اتیدیوم بروماید

آنالیز دندوگرام در روش RAPD-PCR: کلاستر یا رایانش خوشه‌ای از پردازش موازی و توزیع داده‌ها در کامپیوترهای مستقل دیده می‌شود. کلاسترها دو دسته اصلی دارند که گروه اول با کارایی بالا و گروه دوم، کلاسترهایی با دسترسی بالا هستند. نتایج آزمایش در ۹ کلاستر به صورت زیر قابل مشاهده و بررسی است (جدول شماره ۴). (کلاستر ۱ تنها شامل نمونه‌های ۲۲، ۲۳، ۲۴، ۲۵، ۲۶، ۲۷، ۲۸، ۲۹، ۳۰، ۳۱، ۳۲، ۳۳، ۳۴، ۳۵، ۳۶، ۳۷، ۳۸، ۳۹، ۴۰، ۴۱، ۴۲، ۴۳، ۴۴، ۴۵، ۴۶، ۴۷، ۴۸، ۴۹، ۵۰، ۵۱، ۵۲، ۵۳، ۵۴، ۵۵، ۵۶، ۵۷، ۵۸، ۵۹، ۶۰، ۶۱، ۶۲، ۶۳، ۶۴، ۶۵، ۶۶، ۶۷، ۶۸، ۶۹، ۷۰، ۷۱، ۷۲، ۷۳، ۷۴، ۷۵، ۷۶، ۷۷، ۷۸، ۷۹، ۸۰، ۸۱، ۸۲، ۸۳، ۸۴، ۸۵، ۸۶، ۸۷، ۸۸، ۸۹، ۹۰، ۹۱، ۹۲، ۹۳، ۹۴، ۹۵، ۹۶، ۹۷، ۹۸، ۹۹، ۱۰۰، ۱۰۱، ۱۰۲، ۱۰۳، ۱۰۴، ۱۰۵، ۱۰۶، ۱۰۷، ۱۰۸، ۱۰۹، ۱۱۰، ۱۱۱، ۱۱۲، ۱۱۳، ۱۱۴، ۱۱۵، ۱۱۶، ۱۱۷، ۱۱۸، ۱۱۹، ۱۲۰، ۱۲۱، ۱۲۲، ۱۲۳، ۱۲۴، ۱۲۵، ۱۲۶، ۱۲۷، ۱۲۸، ۱۲۹، ۱۳۰، ۱۳۱، ۱۳۲، ۱۳۳، ۱۳۴، ۱۳۵، ۱۳۶، ۱۳۷، ۱۳۸، ۱۳۹، ۱۴۰، ۱۴۱، ۱۴۲، ۱۴۳، ۱۴۴، ۱۴۵، ۱۴۶، ۱۴۷، ۱۴۸، ۱۴۹، ۱۵۰، ۱۵۱، ۱۵۲، ۱۵۳، ۱۵۴، ۱۵۵، ۱۵۶، ۱۵۷، ۱۵۸، ۱۵۹، ۱۶۰، ۱۶۱، ۱۶۲، ۱۶۳، ۱۶۴، ۱۶۵، ۱۶۶، ۱۶۷، ۱۶۸، ۱۶۹، ۱۷۰، ۱۷۱، ۱۷۲، ۱۷۳، ۱۷۴، ۱۷۵، ۱۷۶، ۱۷۷، ۱۷۸، ۱۷۹، ۱۸۰، ۱۸۱، ۱۸۲، ۱۸۳، ۱۸۴، ۱۸۵، ۱۸۶، ۱۸۷، ۱۸۸، ۱۸۹، ۱۹۰، ۱۹۱، ۱۹۲، ۱۹۳، ۱۹۴، ۱۹۵، ۱۹۶، ۱۹۷، ۱۹۸، ۱۹۹، ۲۰۰، ۲۰۱، ۲۰۲، ۲۰۳، ۲۰۴، ۲۰۵، ۲۰۶، ۲۰۷، ۲۰۸، ۲۰۹، ۲۱۰، ۲۱۱، ۲۱۲، ۲۱۳، ۲۱۴، ۲۱۵، ۲۱۶، ۲۱۷، ۲۱۸، ۲۱۹، ۲۲۰، ۲۲۱، ۲۲۲، ۲۲۳، ۲۲۴، ۲۲۵، ۲۲۶، ۲۲۷، ۲۲۸، ۲۲۹، ۲۳۰، ۲۳۱، ۲۳۲، ۲۳۳، ۲۳۴، ۲۳۵، ۲۳۶، ۲۳۷، ۲۳۸، ۲۳۹، ۲۴۰، ۲۴۱، ۲۴۲، ۲۴۳، ۲۴۴، ۲۴۵، ۲۴۶، ۲۴۷، ۲۴۸، ۲۴۹، ۲۵۰، ۲۵۱، ۲۵۲، ۲۵۳، ۲۵۴، ۲۵۵، ۲۵۶، ۲۵۷، ۲۵۸، ۲۵۹، ۲۶۰، ۲۶۱، ۲۶۲، ۲۶۳، ۲۶۴، ۲۶۵، ۲۶۶، ۲۶۷، ۲۶۸، ۲۶۹، ۲۷۰، ۲۷۱، ۲۷۲، ۲۷۳، ۲۷۴، ۲۷۵، ۲۷۶، ۲۷۷، ۲۷۸، ۲۷۹، ۲۸۰، ۲۸۱، ۲۸۲، ۲۸۳، ۲۸۴، ۲۸۵، ۲۸۶، ۲۸۷، ۲۸۸، ۲۸۹، ۲۹۰، ۲۹۱، ۲۹۲، ۲۹۳، ۲۹۴، ۲۹۵، ۲۹۶، ۲۹۷، ۲۹۸، ۲۹۹، ۳۰۰، ۳۰۱، ۳۰۲، ۳۰۳، ۳۰۴، ۳۰۵، ۳۰۶، ۳۰۷، ۳۰۸، ۳۰۹، ۳۱۰، ۳۱۱، ۳۱۲، ۳۱۳، ۳۱۴، ۳۱۵، ۳۱۶، ۳۱۷، ۳۱۸، ۳۱۹، ۳۲۰، ۳۲۱، ۳۲۲، ۳۲۳، ۳۲۴، ۳۲۵، ۳۲۶، ۳۲۷، ۳۲۸، ۳۲۹، ۳۳۰، ۳۳۱، ۳۳۲، ۳۳۳، ۳۳۴، ۳۳۵، ۳۳۶، ۳۳۷، ۳۳۸، ۳۳۹، ۳۴۰، ۳۴۱، ۳۴۲، ۳۴۳، ۳۴۴، ۳۴۵، ۳۴۶، ۳۴۷، ۳۴۸، ۳۴۹، ۳۵۰، ۳۵۱، ۳۵۲، ۳۵۳، ۳۵۴، ۳۵۵، ۳۵۶، ۳۵۷، ۳۵۸، ۳۵۹، ۳۶۰، ۳۶۱، ۳۶۲، ۳۶۳، ۳۶۴، ۳۶۵، ۳۶۶، ۳۶۷، ۳۶۸، ۳۶۹، ۳۷۰، ۳۷۱، ۳۷۲، ۳۷۳، ۳۷۴، ۳۷۵، ۳۷۶، ۳۷۷، ۳۷۸، ۳۷۹، ۳۸۰، ۳۸۱، ۳۸۲، ۳۸۳، ۳۸۴، ۳۸۵، ۳۸۶، ۳۸۷، ۳۸۸، ۳۸۹، ۳۹۰، ۳۹۱، ۳۹۲، ۳۹۳، ۳۹۴، ۳۹۵، ۳۹۶، ۳۹۷، ۳۹۸، ۳۹۹، ۴۰۰، ۴۰۱، ۴۰۲، ۴۰۳، ۴۰۴، ۴۰۵، ۴۰۶، ۴۰۷، ۴۰۸، ۴۰۹، ۴۱۰، ۴۱۱، ۴۱۲، ۴۱۳، ۴۱۴، ۴۱۵، ۴۱۶، ۴۱۷، ۴۱۸، ۴۱۹، ۴۲۰، ۴۲۱، ۴۲۲، ۴۲۳، ۴۲۴، ۴۲۵، ۴۲۶، ۴۲۷، ۴۲۸، ۴۲۹، ۴۳۰، ۴۳۱، ۴۳۲، ۴۳۳، ۴۳۴، ۴۳۵، ۴۳۶، ۴۳۷، ۴۳۸، ۴۳۹، ۴۴۰، ۴۴۱، ۴۴۲، ۴۴۳، ۴۴۴، ۴۴۵، ۴۴۶، ۴۴۷، ۴۴۸، ۴۴۹، ۴۵۰، ۴۵۱، ۴۵۲، ۴۵۳، ۴۵۴، ۴۵۵، ۴۵۶، ۴۵۷، ۴۵۸، ۴۵۹، ۴۶۰، ۴۶۱، ۴۶۲، ۴۶۳، ۴۶۴، ۴۶۵، ۴۶۶، ۴۶۷، ۴۶۸، ۴۶۹، ۴۷۰، ۴۷۱، ۴۷۲، ۴۷۳، ۴۷۴، ۴۷۵، ۴۷۶، ۴۷۷، ۴۷۸، ۴۷۹، ۴۸۰، ۴۸۱، ۴۸۲، ۴۸۳، ۴۸۴، ۴۸۵، ۴۸۶، ۴۸۷، ۴۸۸، ۴۸۹، ۴۹۰، ۴۹۱، ۴۹۲، ۴۹۳، ۴۹۴، ۴۹۵، ۴۹۶، ۴۹۷، ۴۹۸، ۴۹۹، ۵۰۰، ۵۰۱، ۵۰۲، ۵۰۳، ۵۰۴، ۵۰۵، ۵۰۶، ۵۰۷، ۵۰۸، ۵۰۹، ۵۱۰، ۵۱۱، ۵۱۲، ۵۱۳، ۵۱۴، ۵۱۵، ۵۱۶، ۵۱۷، ۵۱۸، ۵۱۹، ۵۲۰، ۵۲۱، ۵۲۲، ۵۲۳، ۵۲۴، ۵۲۵، ۵۲۶، ۵۲۷، ۵۲۸، ۵۲۹، ۵۳۰، ۵۳۱، ۵۳۲، ۵۳۳، ۵۳۴، ۵۳۵، ۵۳۶، ۵۳۷، ۵۳۸، ۵۳۹، ۵۴۰، ۵۴۱، ۵۴۲، ۵۴۳، ۵۴۴، ۵۴۵، ۵۴۶، ۵۴۷، ۵۴۸، ۵۴۹، ۵۵۰، ۵۵۱، ۵۵۲، ۵۵۳، ۵۵۴، ۵۵۵، ۵۵۶، ۵۵۷، ۵۵۸، ۵۵۹، ۵۶۰، ۵۶۱، ۵۶۲، ۵۶۳، ۵۶۴، ۵۶۵، ۵۶۶، ۵۶۷، ۵۶۸، ۵۶۹، ۵۷۰، ۵۷۱، ۵۷۲، ۵۷۳، ۵۷۴، ۵۷۵، ۵۷۶، ۵۷۷، ۵۷۸، ۵۷۹، ۵۸۰، ۵۸۱، ۵۸۲، ۵۸۳، ۵۸۴، ۵۸۵، ۵۸۶، ۵۸۷، ۵۸۸، ۵۸۹، ۵۹۰، ۵۹۱، ۵۹۲، ۵۹۳، ۵۹۴، ۵۹۵، ۵۹۶، ۵۹۷، ۵۹۸، ۵۹۹، ۶۰۰، ۶۰۱، ۶۰۲، ۶۰۳، ۶۰۴، ۶۰۵، ۶۰۶، ۶۰۷، ۶۰۸، ۶۰۹، ۶۱۰، ۶۱۱، ۶۱۲، ۶۱۳، ۶۱۴، ۶۱۵، ۶۱۶، ۶۱۷، ۶۱۸، ۶۱۹، ۶۲۰، ۶۲۱، ۶۲۲، ۶۲۳، ۶۲۴، ۶۲۵، ۶۲۶، ۶۲۷، ۶۲۸، ۶۲۹، ۶۳۰، ۶۳۱، ۶۳۲، ۶۳۳، ۶۳۴، ۶۳۵، ۶۳۶، ۶۳۷، ۶۳۸، ۶۳۹، ۶۴۰، ۶۴۱، ۶۴۲، ۶۴۳، ۶۴۴، ۶۴۵، ۶۴۶، ۶۴۷، ۶۴۸، ۶۴۹، ۶۵۰، ۶۵۱، ۶۵۲، ۶۵۳، ۶۵۴، ۶۵۵، ۶۵۶، ۶۵۷، ۶۵۸، ۶۵۹، ۶۶۰، ۶۶۱، ۶۶۲، ۶۶۳، ۶۶۴، ۶۶۵، ۶۶۶، ۶۶۷، ۶۶۸، ۶۶۹، ۶۷۰، ۶۷۱، ۶۷۲، ۶۷۳، ۶۷۴، ۶۷۵، ۶۷۶، ۶۷۷، ۶۷۸، ۶۷۹، ۶۸۰، ۶۸۱، ۶۸۲، ۶۸۳، ۶۸۴، ۶۸۵، ۶۸۶، ۶۸۷، ۶۸۸، ۶۸۹، ۶۹۰، ۶۹۱، ۶۹۲، ۶۹۳، ۶۹۴، ۶۹۵، ۶۹۶، ۶۹۷، ۶۹۸، ۶۹۹، ۷۰۰، ۷۰۱، ۷۰۲، ۷۰۳، ۷۰۴، ۷۰۵، ۷۰۶، ۷۰۷، ۷۰۸، ۷۰۹، ۷۱۰، ۷۱۱، ۷۱۲، ۷۱۳، ۷۱۴، ۷۱۵، ۷۱۶، ۷۱۷، ۷۱۸، ۷۱۹، ۷۲۰، ۷۲۱، ۷۲۲، ۷۲۳، ۷۲۴، ۷۲۵، ۷۲۶، ۷۲۷، ۷۲۸، ۷۲۹، ۷۳۰، ۷۳۱، ۷۳۲، ۷۳۳، ۷۳۴، ۷۳۵، ۷۳۶، ۷۳۷، ۷۳۸، ۷۳۹، ۷۴۰، ۷۴۱، ۷۴۲، ۷۴۳، ۷۴۴، ۷۴۵، ۷۴۶، ۷۴۷، ۷۴۸، ۷۴۹، ۷۵۰، ۷۵۱، ۷۵۲، ۷۵۳، ۷۵۴، ۷۵۵، ۷۵۶، ۷۵۷، ۷۵۸، ۷۵۹، ۷۶۰، ۷۶۱، ۷۶۲، ۷۶۳، ۷۶۴، ۷۶۵، ۷۶۶، ۷۶۷، ۷۶۸، ۷۶۹، ۷۷۰، ۷۷۱، ۷۷۲، ۷۷۳، ۷۷۴، ۷۷۵، ۷۷۶، ۷۷۷، ۷۷۸، ۷۷۹، ۷۸۰، ۷۸۱، ۷۸۲، ۷۸۳، ۷۸۴، ۷۸۵، ۷۸۶، ۷۸۷، ۷۸۸، ۷۸۹، ۷۹۰، ۷۹۱، ۷۹۲، ۷۹۳، ۷۹۴، ۷۹۵، ۷۹۶، ۷۹۷، ۷۹۸، ۷۹۹، ۸۰۰، ۸۰۱، ۸۰۲، ۸۰۳، ۸۰۴، ۸۰۵، ۸۰۶، ۸۰۷، ۸۰۸، ۸۰۹، ۸۱۰، ۸۱۱، ۸۱۲، ۸۱۳، ۸۱۴، ۸۱۵، ۸۱۶، ۸۱۷، ۸۱۸، ۸۱۹، ۸۲۰، ۸۲۱، ۸۲۲، ۸۲۳، ۸۲۴، ۸۲۵، ۸۲۶، ۸۲۷، ۸۲۸، ۸۲۹، ۸۳۰، ۸۳۱، ۸۳۲، ۸۳۳، ۸۳۴، ۸۳۵، ۸۳۶، ۸۳۷، ۸۳۸، ۸۳۹، ۸۴۰، ۸۴۱، ۸۴۲، ۸۴۳، ۸۴۴، ۸۴۵، ۸۴۶، ۸۴۷، ۸۴۸، ۸۴۹، ۸۵۰، ۸۵۱، ۸۵۲، ۸۵۳، ۸۵۴، ۸۵۵، ۸۵۶، ۸۵۷، ۸۵۸، ۸۵۹، ۸۶۰، ۸۶۱، ۸۶۲، ۸۶۳، ۸۶۴، ۸۶۵، ۸۶۶، ۸۶۷، ۸۶۸، ۸۶۹، ۸۷۰، ۸۷۱، ۸۷۲، ۸۷۳، ۸۷۴، ۸۷۵، ۸۷۶، ۸۷۷، ۸۷۸، ۸۷۹، ۸۸۰، ۸۸۱، ۸۸۲، ۸۸۳، ۸۸۴، ۸۸۵، ۸۸۶، ۸۸۷، ۸۸۸، ۸۸۹، ۸۹۰، ۸۹۱، ۸۹۲، ۸۹۳، ۸۹۴، ۸۹۵، ۸۹۶، ۸۹۷، ۸۹۸، ۸۹۹، ۹۰۰، ۹۰۱، ۹۰۲، ۹۰۳، ۹۰۴، ۹۰۵، ۹۰۶، ۹۰۷، ۹۰۸، ۹۰۹، ۹۱۰، ۹۱۱، ۹۱۲، ۹۱۳، ۹۱۴، ۹۱۵، ۹۱۶، ۹۱۷، ۹۱۸، ۹۱۹، ۹۲۰، ۹۲۱، ۹۲۲، ۹۲۳، ۹۲۴، ۹۲۵، ۹۲۶، ۹۲۷، ۹۲۸، ۹۲۹، ۹۳۰، ۹۳۱، ۹۳۲، ۹۳۳، ۹۳۴، ۹۳۵، ۹۳۶، ۹۳۷، ۹۳۸، ۹۳۹، ۹۴۰، ۹۴۱، ۹۴۲، ۹۴۳، ۹۴۴، ۹۴۵، ۹۴۶، ۹۴۷، ۹۴۸، ۹۴۹، ۹۵۰، ۹۵۱، ۹۵۲، ۹۵۳، ۹۵۴، ۹۵۵، ۹۵۶، ۹۵۷، ۹۵۸، ۹۵۹، ۹۶۰، ۹۶۱، ۹۶۲، ۹۶۳، ۹۶۴، ۹۶۵، ۹۶۶، ۹۶۷، ۹۶۸، ۹۶۹، ۹۷۰، ۹۷۱، ۹۷۲، ۹۷۳، ۹۷۴، ۹۷۵، ۹۷۶، ۹۷۷، ۹۷۸، ۹۷۹، ۹۸۰، ۹۸۱، ۹۸۲، ۹۸۳، ۹۸۴، ۹۸۵، ۹۸۶، ۹۸۷، ۹۸۸، ۹۸۹، ۹۹۰، ۹۹۱، ۹۹۲، ۹۹۳، ۹۹۴، ۹۹۵، ۹۹۶، ۹۹۷، ۹۹۸، ۹۹۹، ۱۰۰۰، ۱۰۰۱، ۱۰۰۲، ۱۰۰۳، ۱۰۰۴، ۱۰۰۵، ۱۰۰۶، ۱۰۰۷، ۱۰۰۸، ۱۰۰۹، ۱۰۱۰، ۱۰۱۱، ۱۰۱۲، ۱۰۱۳، ۱۰۱۴، ۱۰۱۵، ۱۰۱۶، ۱۰۱۷، ۱۰۱۸، ۱۰۱۹، ۱۰۲۰، ۱۰۲۱، ۱۰۲۲، ۱۰۲۳، ۱۰۲۴، ۱۰۲۵، ۱۰۲۶، ۱۰۲۷، ۱۰۲۸، ۱۰۲۹، ۱۰۳۰، ۱۰۳۱، ۱۰۳۲، ۱۰۳۳، ۱۰۳۴، ۱۰۳۵، ۱۰۳۶، ۱۰۳۷، ۱۰۳۸، ۱۰۳۹، ۱۰۴۰، ۱۰۴۱، ۱۰۴۲، ۱۰۴۳، ۱۰۴۴، ۱۰۴۵، ۱۰۴۶، ۱۰۴۷، ۱۰۴۸، ۱۰۴۹، ۱۰۵۰، ۱۰۵۱، ۱۰۵۲، ۱۰۵۳، ۱۰۵۴، ۱۰۵۵، ۱۰۵۶، ۱۰۵۷، ۱۰۵۸، ۱۰۵۹، ۱۰۶۰، ۱۰۶۱، ۱۰۶۲، ۱۰۶۳، ۱۰۶۴، ۱۰۶۵، ۱۰۶۶، ۱۰۶۷، ۱۰۶۸، ۱۰۶۹، ۱۰۷۰، ۱۰۷۱، ۱۰۷۲، ۱۰۷۳، ۱۰۷۴، ۱۰۷۵، ۱۰۷۶، ۱۰۷۷، ۱۰۷۸، ۱۰۷۹، ۱۰۸۰، ۱۰۸۱، ۱۰۸۲، ۱۰۸۳، ۱۰۸۴، ۱۰۸۵، ۱۰۸۶، ۱۰۸۷، ۱۰۸۸، ۱۰۸۹، ۱۰۹۰، ۱۰۹۱، ۱۰۹۲، ۱۰۹۳، ۱۰۹۴، ۱۰۹۵، ۱۰۹۶، ۱۰۹۷، ۱۰۹۸، ۱۰۹۹، ۱۱۰۰، ۱۱۰۱، ۱۱۰۲، ۱۱۰۳، ۱۱۰۴، ۱۱۰۵، ۱۱۰۶، ۱۱۰۷، ۱۱۰۸، ۱۱۰۹، ۱۱۱۰، ۱۱۱۱، ۱۱۱۲، ۱۱۱۳، ۱۱۱۴، ۱۱۱۵، ۱۱۱۶، ۱۱۱۷، ۱۱۱۸، ۱۱۱۹، ۱۱۲۰، ۱۱۲۱، ۱۱۲۲، ۱۱۲۳، ۱۱۲۴، ۱۱۲۵، ۱۱۲۶، ۱۱۲۷، ۱۱۲۸، ۱۱۲۹، ۱۱۳۰، ۱۱۳۱، ۱۱۳۲، ۱۱۳۳، ۱۱۳۴، ۱۱۳۵، ۱۱۳۶، ۱۱۳۷، ۱۱۳۸، ۱۱۳۹، ۱۱۴۰، ۱۱۴۱، ۱۱۴۲، ۱۱۴۳، ۱۱۴۴، ۱۱۴۵، ۱۱۴۶، ۱۱۴۷، ۱۱۴۸، ۱۱۴۹، ۱۱۵۰، ۱۱۵۱، ۱۱۵۲، ۱۱۵۳، ۱۱۵۴، ۱۱۵۵، ۱۱۵۶، ۱۱۵۷، ۱۱۵۸، ۱۱۵۹، ۱۱۶۰، ۱۱۶۱، ۱۱۶۲، ۱۱۶۳، ۱۱۶۴، ۱۱۶۵، ۱۱۶۶، ۱۱۶۷، ۱۱۶۸، ۱۱۶۹، ۱۱۷۰، ۱۱۷۱، ۱۱۷۲، ۱۱۷۳، ۱۱۷۴، ۱۱۷۵، ۱۱۷۶، ۱۱۷۷، ۱۱۷۸، ۱۱۷۹، ۱۱۸۰، ۱۱۸۱، ۱۱۸۲، ۱۱۸۳، ۱۱۸۴، ۱۱۸۵، ۱۱۸۶، ۱۱۸۷، ۱۱۸۸، ۱۱۸۹، ۱۱۹۰، ۱۱۹۱، ۱۱۹۲، ۱۱۹۳، ۱۱۹۴، ۱۱۹۵، ۱۱۹۶، ۱۱۹۷، ۱۱۹۸، ۱۱۹۹، ۱۲۰۰، ۱۲۰۱، ۱۲۰۲، ۱۲۰۳، ۱۲۰۴، ۱۲۰۵، ۱۲۰۶، ۱۲۰۷، ۱۲۰۸، ۱۲۰۹، ۱۲۱۰، ۱۲۱۱، ۱۲۱۲، ۱۲۱۳، ۱۲۱۴، ۱۲۱۵، ۱۲۱۶، ۱۲۱۷، ۱۲۱۸، ۱۲۱۹، ۱۲۲۰، ۱۲۲۱، ۱۲۲۲، ۱۲۲۳، ۱۲۲۴، ۱۲۲۵، ۱۲۲۶، ۱۲۲۷، ۱۲۲۸، ۱۲۲۹، ۱۲۳۰، ۱۲۳۱، ۱۲۳۲، ۱۲۳۳، ۱۲۳۴، ۱۲۳۵، ۱۲۳۶، ۱۲۳۷، ۱۲۳۸، ۱۲۳۹، ۱۲۴۰، ۱۲۴۱، ۱۲۴۲، ۱۲۴۳، ۱۲۴۴، ۱۲۴۵، ۱۲۴۶، ۱۲۴۷، ۱۲۴۸، ۱۲۴۹، ۱۲۵۰، ۱۲۵۱، ۱۲۵۲، ۱۲۵۳، ۱۲۵۴، ۱۲۵۵، ۱۲۵۶، ۱۲۵۷، ۱۲۵۸، ۱۲۵۹، ۱۲۶۰، ۱۲۶۱، ۱۲۶۲، ۱۲۶۳، ۱۲۶۴، ۱۲۶۵، ۱۲۶۶، ۱۲۶۷، ۱۲۶۸، ۱۲۶۹، ۱۲۷۰، ۱۲۷۱، ۱۲۷۲، ۱۲۷۳، ۱۲۷۴، ۱۲۷۵، ۱۲۷۶، ۱۲۷۷، ۱۲۷۸، ۱۲۷۹، ۱۲۸۰، ۱۲۸۱، ۱۲۸۲، ۱۲۸۳، ۱۲۸۴، ۱۲۸۵، ۱۲۸۶، ۱۲۸۷، ۱۲۸۸، ۱۲۸۹، ۱۲۹۰، ۱۲۹۱، ۱۲۹۲، ۱۲۹۳، ۱۲۹۴، ۱۲۹۵، ۱۲۹۶، ۱۲۹۷، ۱۲۹۸، ۱۲۹۹، ۱۳۰۰، ۱۳۰۱، ۱۳۰۲، ۱۳۰۳، ۱۳۰۴، ۱۳۰۵، ۱۳۰۶، ۱۳۰۷، ۱۳۰۸، ۱۳۰۹، ۱۳۱۰، ۱۳۱۱، ۱۳۱۲، ۱۳۱۳، ۱۳۱۴، ۱۳۱۵، ۱۳۱۶، ۱۳۱۷، ۱۳۱۸، ۱۳۱۹، ۱۳۲۰، ۱۳۲۱، ۱۳۲۲، ۱۳۲۳، ۱۳۲۴، ۱۳۲۵، ۱۳۲۶، ۱۳۲۷، ۱۳۲۸، ۱۳۲۹، ۱۳۳۰، ۱۳۳۱، ۱۳۳۲، ۱۳۳۳، ۱۳۳۴، ۱۳۳۵، ۱۳۳۶، ۱۳۳۷، ۱۳۳۸، ۱۳۳۹، ۱۳۴۰، ۱۳۴۱، ۱۳۴۲، ۱۳۴۳، ۱۳۴۴، ۱۳۴۵، ۱۳۴۶، ۱۳۴۷، ۱۳۴۸، ۱۳۴۹، ۱۳۵۰، ۱۳۵۱، ۱۳۵۲، ۱۳۵۳، ۱۳۵۴، ۱۳۵۵، ۱۳۵۶، ۱۳۵۷، ۱۳۵۸، ۱۳۵۹، ۱۳۶۰، ۱۳۶۱، ۱۳۶۲، ۱۳۶۳، ۱۳۶۴، ۱۳۶۵، ۱۳۶۶، ۱۳۶۷، ۱۳۶۸، ۱۳۶۹، ۱۳۷۰، ۱۳۷۱

جدول شماره ۴. مشخصات ایزوله‌های *Trichophyton rubrum* و گروه‌بندی آن‌ها بر اساس روش RAPD_PCR

شماره سوبه	شماره کلاستر	شماره سوبه	شماره کلاستر	شماره سوبه	شماره کلاستر
۱	۹	۲۱	۹	۱۱	۹
۲	۹	۲۲	۹	۱۲	۹
۳	۹	۲۳	۷	۱۳	۹
۴	۹	۲۴	۴	۱۴	۹
۵	۹	۲۵	۸	۱۵	۹
۶	۹	۲۶	۳	۱۶	۹
۷	۹	۲۷	۵	۱۷	۹
۸	۹	۲۸	۵	۱۸	۹
۹	۹	۲۹	۲	۱۹	۹
۱۰	۹	۳۰	۲	۲۰	۹

توکسین‌های تولیدشده و فعالیت آن‌ها و سایر ویژگی‌هاست. از آنجاکه صفات فنوتیپی در سطح مواد ژنتیکی و بازهای DNA رمزدی می‌شوند، انتظار می‌رود که هرگونه تنوع در ویژگی‌های ظاهری میان دو موجود، در سطح DNA آن‌ها انعکاس یابد، به طوری که این اختلاف‌ها مستقیماً با بررسی DNA آن‌ها، با روش‌های مناسب قابل‌پیشگیری است. برای بررسی تنوع در سطح DNA، روش‌های گوناگونی ارائه شده است که همه‌روزه بر تعدادشان افزوده می‌شود (۱). در پژوهش حاضر، ۳۰ جدایهٔ *Trichophyton rubrum* در ۹ گروه مجزا ملاحظه شده است که در هرکدام، تعدادی از سوبه‌ها (با صفات فنوتیپی و ژنوتیپی مشترک) جای می‌گیرد و نشان‌دهندهٔ تنوع پلی‌مورفیسم ژنومی در میان زیرگونه‌های این قارچ‌هاست. در میان کلاسترهای مشخص شده، بیشترین فراوانی مربوط به کلاستر ۹ است که ۱۲ ایزوله با ویژگی‌های خویشاوندی مشترک را در بر می‌گیرد.

پژوهش‌های گوناگون، روش RAPD را روش مناسبی برای تشخیص گونه‌های قارچی معرفی کرده‌اند؛ اما امروزه، این روش برای تشخیص گونه با سایر روش‌های مولکولی اغلب با روش‌های مبتنی بر تعیین توالی نوکلئوتیدی یک یا چند ژن، کمتر انجام می‌شود. از آنجاکه دربارهٔ توالی بازهای DNA *Trichophyton rubrum* اطلاعات بسیاری در دست نیست، این روش برای بررسی پلی‌مورفیسم DNA می‌تواند سودمند باشد. الگوی الکتروفوریتیک حاصل از هضم اندونوکلازای محصول‌های PCR با آنزیم *EcoRII*، شناسایی و

در جدول شماره ۴، ۳۰ جدایه *Trichophyton rubrum* در ۹ گروه مجزا ملاحظه می‌شود که در هرکدام، تعدادی از سوبه‌ها (با صفات فنوتیپی و ژنوتیپی مشترک) جای می‌گیرد و نشان‌دهندهٔ تنوع پلی‌مورفیسم ژنومی در میان زیرگونه‌های این قارچ‌هاست. در میان کلاسترهای مشخص شده، بیشترین فراوانی مربوط به کلاستر ۹ است که ۱۲ ایزوله با ویژگی‌های خویشاوندی مشترک را در بر می‌گیرد.

با بررسی نمونه‌های داخل کلاستر، ارتباط معناداری میان نمونه‌های استان مرکزی و تهران یافت نشد؛ زیرا در بعضی از کلاسترها همهٔ نمونه‌ها مربوط به تهران و در بعضی دیگر، همهٔ نمونه‌ها مربوط به مرکزی بود و در سایر کلاسترها، نسبت مشخصی میان نمونه‌های مرکزی و تهران یافت نشد؛ همچنین در این پژوهش، *simpsons diversity* عدد ۰/۹۳۵۵۹۳۲۲ محاسبه گردید که نشان می‌دهد روش RAPD قدرت تمایز مناسبی داشته است.

بحث و نتیجه‌گیری

عفونت‌های قارچی به‌عنوان مسئلهٔ مهم بهداشتی در دنیا مطرح هستند. بیماری‌های پوستی ناشی از قارچ‌ها در زمان حاضر، در جمعیت دنیا در حال افزایش است و بیش از ۲۵-۲۰ درصد جمعیت دنیا به آن مبتلا شده‌اند. درماتوفیتوزیس از شایع‌ترین بیماری‌های قارچی است که درماتوفیت‌ها عامل آن هستند. انتقال بیماری به‌طور مستقیم و غیرمستقیم، با تماس با موها و پوسته‌های آلوده به عوامل درماتوفیتی صورت می‌گیرد (۱).

اختلاف‌ها در بعضی از ویژگی‌های فنوتیپی مانند ویژگی‌های ریخت‌شناسی شدت بیماری‌زایی، انواع

افتراق درماتوفیت‌های بیماری‌زای شایع شامل *Trichophyton rubrum* را امکان‌پذیر کرد. در پژوهش حاضر، با استفاده از تکنیک RAPD PCR، به بررسی تنوع ژنومی تریکوفیتون روبروم پرداخته شد. ۳۰ جدایه تریکوفیتون روبروم در ۹ گروه مجزا گروه بندی که در هر کدام تعدادی از سویه‌ها (با صفات فنوتیپی و ژنوتیپی مشترک) جای می‌گیرد و نشان‌دهنده تنوع پلی مورفیسم ژنومی در میان زیرگونه‌های این قارچ‌هاست. در میان کلاسترهای مشخص شده، بیشترین فراوانی مربوط به کلاستر ۹ است که ۱۲ ایزوله با ویژگی‌های خویشاوندی مشترک را در بر می‌گیرد.

یادگاری و همکاران هدف از مطالعه خود را شناسایی جدایه‌های کاندیدیایی جدا شده از بیماران مبتلا به انواع گوناگون کاندیدیازیس در سطح گونه، به روش PCR-RFLP و بررسی تنوع ژنتیکی سویه‌های آلیکنس، با استفاده از روش RAPD-PCR بیان کرده‌اند. برای این هدف، در طول ۲۷ ماه، به جمع‌آوری ۸۴۶ نمونه از نواحی آناتومیک گوناگون اقدام گردید. سویه‌های مخمری جدا شده، با روش‌های فنوتیپیک مورد شناسایی اولیه قرار گرفت. برای افتراق زیرگونه‌ها و مطالعه ارتباط احتمالی استرین‌های خاص با اشکال بالینی، به تایپینگ جدایه‌های آلیکنس با استفاده از روش RAPD-PCR با کمک آغازگرهای تصادفی AP3 و OPA-18 اقدام شد و نتایج مربوط به هریک از نواحی آناتومیک به صورت مجزا تجزیه و تحلیل گردیدند. آزمایش RAPD نشان داد که می‌توان آن‌ها را در ۴ یا ۵ گروه ژنوتیپی تقسیم‌بندی کرد. سویه‌های جدا شده از موارد کاندیدی می از ۲ ژنوتیپ و جدایه‌های ناخن و پوست و مخاطها از ۳ یا ۴ ژنوتیپ تشکیل شده‌اند.

شکوهی فر و همکاران در پژوهشی، تنوع ژنتیکی جمعیت قارچ *Aspergillus* را در ایران بررسی کردند. بدین منظور، ۲۶ جدایه از ۱۶ استان کشور انتخاب و تنوع ژنومی آن‌ها را با استفاده از روش RAPD ارزیابی نمودند. با به کارگیری ۱۲ آغازگر تصادفی، الگوی بانندی DNA جدایه‌ها تهیه شد و بر اساس این، تنوع ژنتیکی و فاصله ژنتیکی میان جدایه‌ها محاسبه و روابط خویشاوندی آن‌ها با استفاده از تجزیه خوشه‌ای تعیین گردید. نتایج نشان داد که روش RAPD، ابزار نیرومندی

برای تجزیه ژنومی جمعیت *Aspergillus rabiei* است. بر اساس داده‌های به دست آمده، شاخص تنوع ژنتیکی جدایه‌ها ۹۸ درصد برآورد شد که نشان‌دهنده تنوع ژنتیکی فراوان این پاتوژن در ایران است. فاصله ژنتیکی میان جفت جدایه‌ها از ۱۶/۰ تا ۶۱/۰ متغیر بود. بیشترین فاصله ژنتیکی میان جدایه‌های ۲۰ و ۲۲ (از استان‌های قزوین و گلستان) و کمترین فاصله میان جدایه‌های ۱۲ و ۲۶ (از استان‌های مرکزی و مازندران) دیده شد. در سطح شباهت ۹۰ درصد، همه جدایه‌ها در ۲۲ گروه ژنوتیپی جداسازی و از حرف A تا V نام‌گذاری گردیدند (۲۱،۲۰).

هرینسویز و همکاران در سال ۲۰۱۲، از روش‌های اثر انگشت DNA برای شناسایی و کشف جدایه‌های بالینی *Trichophyton rubrum* استفاده کردند. ۵۷ جدایه از بیماران مبتلای فراوانی که شناسایی شده، با استفاده از تجزیه پلی مورفیسم طولی قطعه پلیمراز (PCR-RFLP) و با استفاده از روش RAPD، به طور تصادفی چندمنظوره تقویت شده با دو پرایمر ۱ و ۶ تعیین شدند. با استفاده از PCR-RFLP، تعداد ۵۵ مورد جدایه مورد مطالعه تأیید گردید. در میان آن‌ها، در مجموع ۴۰ و ۵ پروفیل متمایز توسط RAPD با پرایمرهای ۱ و ۶ به دست آمد. ترکیب پروفیل‌ها از هر دو روش RAPD، ۴۷ ژنوتیپ به دست آمد و میزان تنوع ژنوتیپ‌ها ۸۵/۴ درصد بود. تجزیه و تحلیل دندروگرام بر روی پروفیل‌های تولید شده توسط RAPD با پرایمر ۱ نشان داد که بیشتر جدایه‌ها (۸۷/۳ درصد) به طور ژنتیکی با همدیگر مرتبط هستند (۲۳، ۲۲)؛ همچنین ۳۰ جدایه تریکوفیتون روبروم در ۹ گروه مجزا ملاحظه می‌شود که در هر کدام، تعدادی از سویه‌ها (با صفات فنوتیپی و ژنوتیپی مشترک) جای می‌گیرد و نشان‌دهنده تنوع پلی مورفیسم ژنومی در میان زیرگونه‌های این قارچ‌هاست. در میان کلاسترهای مشخص شده، بیشترین فراوانی مربوط به کلاستر ۹ است که ۱۲ ایزوله با ویژگی‌های خویشاوندی مشترک را در بر می‌گیرد.

علی‌پور و همکاران در سال ۱۳۹۰، حساسیت ضدقارچی آنتی-بیوتیکی ۲۹ جدایه از سویه‌های *T. mentagrophytes* در برابر تربینافین را با روش دقیق‌سازی اصلاح آگار، برای تعیین حداقل غلظت

می‌گیرد.

در نتیجه، پژوهش حاضر که به بررسی پلی‌مورفیسم ژنومی قارچ *Trichophyton rubrum* جدا شده از نمونه‌های بالینی افراد مبتلا به درماتوفیتوزیس در بیمارستان‌های دو استان تهران و مرکزی، با تکنیک RAPD-PCR به وسیله پرایمر اختصاصی پرداخته شد، در مجموع، تعداد ۳۰ ایزوله تریکوفیتون روبروم در ۹ گروه ژنومی قرار گرفت که هر کدام مربوط به یک منطقه و یک محدوده سنی بود و این تنوع ژنتیکی ناشی از مسافت و طیف سنی گوناگون است. این تنوع ژنتیکی در انتقال و بیماری‌زایی این میکروارگانیسم نقش ویژه‌ای دارد؛ بنابراین، بررسی پلی‌مورفیسم ژنومی، شاخص ژنتیکی ارزشمندی در ارزیابی ساختار و بیماری‌زایی سویه *Trichophyton rubrum* است و با توجه به سنجش متغیرهای اساسی، مطالعات ژنومی بیشتر، ضروری به نظر می‌رسد.

سپاس‌گزاری

این مقاله از پایان‌نامه کارشناسی ارشد با کد ۹۷۰۰۱۵۰۰۲۳۶ استخراج شده است. بدین وسیله از آقای مهندس مجید صادق‌پور و همه عزیزانی قدردانی و تشکر می‌گردد که در انجام این فعالیت علمی راهنمایی سودمند و ارزنده داشتند.

References

1. Komoto TT, Bitencourt TA, Silva G, Belebani RO, Marins M, Fachin AL. Gene expression response of *Trichophyton rubrum* during coculture on keratinocytes exposed to antifungal agents. *J Evid Based Comple Alt Med* 2015;2015. doi:10.1155/2015/180535
2. Nakaune R, Hamamoto H, Imada J, Akutsu K, Hibi T. A novel ABC transporter gene and PMR5 is involved in multidrug resistance in the phytopathogenic fungus *Penicillium digitatum*. *Mol Genet Genom* 2002;267:179-85. doi:10.1007/s00438-002-0649-6
3. Mugge C, Hausteil UF, Nenoff P. Causative agents of onychomycosis a retrospective study. *J Dtsch Dermatol Ges* 2006;4:218-28. doi:10.1111/j.1610-0387.2006.05877.x
4. Walker JE, Saraste M, Runswick MJ, Gay NJ. Distantly related sequences in the alpha

مهاری (MIC) ارزیابی کردند. ۲۱ جدایه حساس و ۸ جدایه مقاوم به تربینافین بود. جدایه مقاوم با استفاده از ۴ آغازگر RAPD-PCR، با هدف نشان دادن حساسیت ژنتیکی و مقاومت به تربینوفین مواجه شدند. همه تکثیرها نشان دادند که باندهای پلی‌مورفیک متمایز و در مجموع، ۳۴ موقعیت باند برای ۴ آغازگر آزمایش شدند و فاصله ژنتیکی میان هر یک از جدایه‌ها محاسبه گردید و از تجزیه خوشه‌ای برای تولید یک دندروگرام استفاده شد که نشان‌دهنده روابط میان آن‌ها بود. دندروگرام ترکیبی با میانگین تقریبی ۶۵ درصد، همه سویه‌ها را به گروه‌های مربوط به واکنش حساسیت به تربینافین طبقه‌بندی کرد. این مطالعه، اثربخشی استفاده از روش مولکولی RAPD را برای تکمیل تست‌های میکروسکوپی سنتی و آزمایش حساسیت دارویی، به منظور تشخیص دقیق درماتوفیتوزیس را دوباره نشان داد (۲۴). در مقایسه، ۳۰ جدایه تریکوفیتون روبروم در ۹ گروه مجزا ملاحظه می‌شود که در هر کدام تعدادی از سویه‌ها (با صفات فنوتیپی و ژنوتیپی مشترک) جای می‌گیرد و نشان‌دهنده تنوع پلی‌مورفیسم ژنومی در میان زیرگونه‌های این قارچ‌هاست. در میان کلاسترهای مشخص شده، بیشترین فراوانی مربوط به کلاستر ۹ است که ۱۲ ایزوله با ویژگی‌های خویشاوندی مشترک را در بر

- and beta subunits of ATP synthase myosin and kinases and other ATP requiring enzymes and a common nucleotide binding fold. *EMBO J* 1982;1:945-51. doi:10.1002/j.1460-2075.1982.tb01276.x
5. Pouillot R, Gerbier G, Gardner IA. TAGS a program for the evaluation of test accuracy in the absence of a gold standard. *Prev Vet Med* 2002;53:67-81. doi:10.1016/S0167-5877(01)00272-0
6. Cordeiro R, Evangelista AJ, Serpa R, Marques FJ, Melo CVS, Oliveira JS, et al. Inhibition of heat shock protein 90 enhances the susceptibility to antifungals and reduces the virulence of *Cryptococcus neoformans* *Cryptococcus gattii* species complex. *Microbiology* 2016;162:309-17 doi:10.1099/mic.0.000222.
7. Liu ZL. Molecular mechanisms of yeast tolerance and in situ detoxification of lignocellulose hydrolysates. *Appl Microbiol*

- Biotechnol 2011;90:809-25.
doi.10.1007/s00253-011-3167-9
8. White TJ, Bruns T, Lee S, Taylor J. Amplification and direct sequencing of fungal ribosomal RNA genes for phylogenetics. PCR Prot Guide Meth Appl 1990;18:315-22. doi.10.1016/b978-0-12-372180-8.50042-1.
9. Landis JR, Koch GG. The measurement of observer agreement for categorical data. Biometrics 1977;159-74. doi.10.2307/2529310.
10. Mahon CR, Lehman DC, Manuselis G. Textbook of diagnostic microbiology. 1th ed. Elsevier Health Sci Publication. 2018;P. 425-89.
11. Paiao FG, Segato F, Cursino JR, Peres NT, Martinezrossi NM. Analysis of Trichophyton rubrum gene expression in response to cytotoxic drugs. FEMS Microbiol let 2007;271:180-6. doi.10.1111/j.1574-6968.2007.00710.x
12. Kondori N, Tehrani PA, Strombeck L, Faergemann J. Comparison of dermatophyte PCR kit with conventional methods for detection of dermatophytes in skin specimens. Mycopathology 2013;176:237-41. doi.10.1007/s11046-013-9691-7
13. Weinstein S, Obuchowski NA, Lieber ML. Clinical evaluation of diagnostic tests. AJR Am J Roentgenol 2005;184:14-9. doi.10.2214/ajr.184.1.01840014.
14. Mehlig L, Garve C, Ritschel A, Zeiler A, Brabetz W, Weber C, et al. Clinical evaluation of a novel commercial multiplex based PCR diagnostic test for differential diagnosis of dermatomycoses. Mycoses 2014;57:27-34. doi.10.1111/myc.12097
15. Zhang W, Yu L, Yang J, Wang L, Peng J, Jin Q. Transcriptional profiles of response to terbinafine in Trichophyton rubrum. Appl Microbiol Biotechnol 2009;82:1123-30. doi.10.1007/s00253-009-1908-9
16. Leng W, Liu T, Wang J, Li R, Jin Q. Expression dynamics of secreted protease genes in Trichophyton rubrum induced by key hosts proteinaceous components. Sabouraudia 2009;47:759-65. doi.10.3109/13693780802524522
17. Makimura K, Tamura Y, Mochizuki T, Hasegawa A, Tajiri Y, Hanazawa R, et al. Phylogenetic classification and species identification of dermatophyte strains based on DNA sequences of nuclear ribosomal internal transcribed spacer 1 regions. J Clin Microbiol 1999;37:920-4. doi.10.1128/JCM.37.4.920-924.1999
18. Weinberg JM, Koestenblatt EK, Tutrone WD, Tishler HR, Najarian L. Comparison of diagnostic methods in the evaluation of onychomycosis. J Am Acad Dermatol 2003;49:193-7. doi.10.1067/S0190-9622(03)01480-4
19. Alshawa K, Beretti JL, Lacroix C, Feuilhade M, Dauphin B, Quesne G, et al. Successful identification of clinical dermatophyte and Neoscytalidium species by matrix assisted laser desorption ionization time of flight mass spectrometry. J Clin Microbiol 2012;50:2277-81. doi.10.1128/JCM.06634-11.
20. Pande S, Siddique K, Kishore G, Bayaa B, Gaur P, Gowda C, et al. Ascochyta blight of chickpea Cicer arietinum L. a review of biology, pathogenicity and disease management. Aus J Agr Res 2005;56:317-32. doi.10.1071/AR04143
21. Shaf F, Abdolreza B, Mahrokhar. Determination of genetic diversity of fungi causing Chickpea Iran using RAPD molecular markers. J Plant Pathol 2011;89:128-95. doi.10.1007/s11557-010-0689-y
22. Hryniewicz A, Jagielski T, Kalinowska K, Baczynska D, Plomer E, Bielecki J. Stability of tandemly repetitive subelement PCR patterns in Trichophyton rubrum over serial passaging and with respect to drug pressure. Mycopathologia 2012;174:383-8. doi.10.1128/JCM.06634-11.
23. Hryniewicz G, Lamber M. Intercultural difference in the formation of spaces of the courtroom. Adv Soc Organ Fac 2012;2:52-61.
24. Alipour M, Mozafari N. Terbinafine susceptibility and genotypic heterogeneity in clinical isolates of Trichophyton mentagrophytes by random amplified polymorphic DNA. J Mycol Med 2015;25:1-9. doi.10.1016/j.mycmed.2014.09.001.

Genomic Polymorphism of *Trichophyton Rubrum* Isolated from Keratinized Clinical Sources using the RAPD-PCR Method

Amini K¹, Chehrei S^{*2}, Malekabadi P²

(Received: March 20, 2020

Accepted: January 6, 2021)

Abstract

Introduction: Dermatophytosis is a fungal complication of keratinized skin, hair, and nail tissues, which is caused by the establishment of dermatophytosis in the tissues. Attempts for tapping and discriminating the subtypes, as well as studying the possible association of specific species with clinical forms of trichophyton isolates using RAPD-PCR with random primers is a useful tool for typing and differentiating the fungal species. This study aimed to investigate the genomic polymorphism of *Trichophyton rubrum* isolated from keratinized sources using the RAPD-PCR method.

Materials & Methods: In this study, 60 dermatophytosis specimens were isolated from dermatophilic patients aged 12 to 45 years referred to Khatam-al-Anbia Hospital in Tehran province and Qods Hospital in Markazi province, Iran. The samples were inoculated in Sabourodextrose agar or microbial agar medium. A total of 30 positive samples were obtained, and specific kits were used to extract trichophyton rubrum DNA. The PCR was performed using specific primers, and the RAPD-PCR method was employed for genomic analysis. Investigation of genomic polymorphism is a valuable genetic marker in the evaluation of genome structure of *Trichophyton rubrum*.

Findings: A total of 30 isolates of *Trichophyton rubrum* were isolated after screening the clinical specimens that were identified based on morphological, microscopic, and biochemical tests. These strains were divided into nine genomic groups, some of which were found in several groups, indicating the genotypic similarity of the fungi of the same species at different locations. Among the identified clusters, cluster nine obtained the highest frequency, which included 12 isolates with common kinship characteristics.

Discussions & Conclusions: This study investigated the genomic polymorphism of *Trichophyton rubrum* isolated from dermatophytes specimens of patients with dermatophytosis in Tehran, Iran, using the RAPD-PCR technique with a primer. According to the results, distance and age group had a significant effect. Furthermore, genetic diversity can play a special role in the transmission and pathogenicity of this microorganism.

Keywords: Dermatophytosis, Genomic polymorphism, *Trichophyton rubrum*, RAPD-PCR

1. Dept of Microbiology, Faculty of Basic Sciences, Saveh Branch, Islamic Azad University, Saveh, Iran

2. Dept of Microbiology, Faculty of Basic Sciences, Arak Branch, Islamic Azad University, Arak, Iran

*Corresponding author Email: Sh-chehrei@iau-arak.ac.ir